

転炉、RH脱ガスにおける ステンレス鋼脱炭機能最適分配プロセスの確立*

川崎製鉄技報
25 (1993) 4, 287-292

Optimized Decarburization Process for Stainless Steel with the Combination of Refining in Converter and RH-Degasser



錦織 正規
Masanori Nishikoori
千葉製鉄所 製鋼部製
鋼技術室

多田 瞳
Chikashi Tada
千葉製鉄所 西工場新
設備建設班 主査(掛
長)

西川 廣
Hiroshi Nishikawa
千葉製鉄所 製鋼部第
1 製鋼課長

要旨

ステンレス鋼溶製プロセスにおいて、RH脱ガスにトップランスマニッシュ素上吹き設備(KTB)を導入し、K-BOPにおける希釈脱炭とKTBによる真空中送酸脱炭を組み合わせたステンレス鋼脱炭プロセスを確立した。その結果、合理的な脱炭精錬が達成され、極低炭素鋼の溶製においては、K-BOP-KTBプロセスによりK-BOP-VODプロセスとはほぼ同等の製品C+N値が得られ、SUS304等の精錬目標の[N]範囲が比較的高い鋼種においては、KTB送酸条件の最適化により脱炭酸素効率の向上が図れた。さらに、KTBを利用したRH槽内地金溶解操業についても同時に述べた。

Synopsis:

A new combined decarburization process for the production of stainless steel has been established at No.1 Steelmaking Shop in Chiba Works of Kawasaki Steel Corp. The process utilizes K-BOP (top and bottom blowing converter) for decarburizing the stainless steel melt with an oxygen/inert gas mixture and KTB method during RH degassing (oxygen top blowing onto the molten steel in vacuum vessel) for efficient vacuum decarburization. By this process, it has become possible to produce high chromium stainless steel with ultra low carbon and low nitrogen more easily and with higher productivity than the conventional K-BOP and VOD process. The carbon and nitrogen contents of the steel product obtained by the new process are low enough and equivalent to those by the K-BOP and VOD process. Another advantage of the KTB method is higher oxygen-utilizing efficiency for decarburization during RH degassing by the optimized operation of oxygen blowing for the production of a certain steel grade such as SUS304 whose upper limit of nitrogen content is relatively high.

1 緒 言

ステンレス鋼の溶製プロセスとしては、EF-VOD法やEF-AOD法が一般的に広く知られており、日本におけるステンレス鋼製造各社もこれらの精錬法を中心としたプロセスを採用している場合が多い^[1]。

当社千葉製鉄所におけるステンレス鋼の製造は、1981年のステンレス鋼製鋼部門の千葉集約化以降、第1製鋼工場85t LD転炉の上底吹き転炉(K-BOP)への改造^[2]を経て、EF-K-BOP-RHプロセスから銑鋼一貫製鉄所と言う立地条件をいかして、予備処理溶銑を用いたK-BOP-RHプロセス^[3]、さらには2基のK-BOPを用いたCr鉱石溶融元法^[4]による、K-BOP-K-BOP-RHプロセスへと移行し現在に至っている。

このプロセスの脱炭炉においては、脱炭精錬中に生ずるCrの酸化ロスを低減し、還元用のFeSi合金鉄使用量の削減のため、底吹きガス流量と羽口本数の最適化^[5]、無倒炉出鋼比率の向上^[6]を図る

とともに、高価なArガスを使用しない希釈吹錬方法の確立に努めてきた。しかし、脱炭精錬を転炉のみに依存するプロセスでは、Crを酸化させずに優先脱炭を進行させることには限界がある。

さらに、近年ではステンレス鋼への極低炭素、極低窒素等の高純度化のニーズが高まってきており、その需要も増加している。

これらの背景の下、現状プロセスでの高生産性を維持しつつ、より合理的な脱炭および鋼の高純度化のニーズに応えることを可能とする、脱炭機能を有する二次精錬を用いたステンレス鋼脱炭プロセスが望まれていた。

そこで、千葉製鉄所第1製鋼工場では、ステンレス鋼溶製時のRH脱ガスにおいてトップランスマニッシュ素上吹き法(KTB法)を1992年に開発し、脱炭炉における底吹き希釈脱炭とKTBによる真空中送酸脱炭を組み合わせたK-BOP-KTBによるステンレス鋼脱炭プロセスを確立した^[7]。

ここでは、このK-BOP-KTBプロセス導入後の二次精錬過程におけるステンレス鋼の脱炭挙動およびKTBの有効利用について述べる。

* 平成5年8月23日原稿受付

2 千葉製鉄所におけるステンレス鋼製造プロセス

千葉製鉄所第1製鋼工場における、ステンレス鋼製造プロセスフローをFig. 1に示す。主要な工程であるCr鉱石溶融還元プロセスは、ロータリーキルンにより約65~70%までCr鉱石を予備還元したCrペレットをCr源とし、2基のK-BOPのうち1基を溶融還元炉、他の1基を脱炭炉としたステンレス鋼の溶製プロセスである。二次精錬設備としては、トップランスによる酸素上吹き設備(KTB)を備えたRH脱ガスと、強攪拌型SS-VOD(strongly stirred VOD)があり、いずれも真空中送酸脱炭機能を有している。これら二次精錬設備のプロセス選択は、SUS304やSUS430といった一般ステンレス鋼および11%Cr極低炭素鋼等、大部分のステンレス鋼はK-BOP-KTBプロセスにより溶製し、SUS447J1やSUS444の高Cr極低炭低窒素高純度ステンレス鋼はK-BOP-SS-VODプロセスにより溶製している。Table 1に主なプロセスと対象鋼種をまとめた。

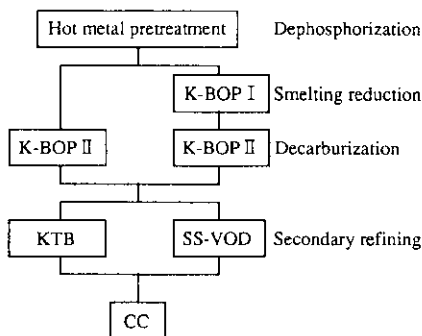


Fig. 1 Process for stainless steelmaking in Chiba Works

Table 1 Process application for stainless steel grades

Process	Stainless steel grades
K-BOP I-K-BOP II-KTB (or K-BOP II-KTB)	Normal stainless steel : SUS 304(L), SUS 316(L), SUS 321, SUS 410, SUS 420, SUS 430, SUS 434, SUS 436 L SUS 409, etc.
K-BOP I-K-BOP II-SS-VOD (or K-BOP II-SS-VOD)	Ultra low carbon and low nitrogen stainless steel : SUS 447 J1, SUS 444, 20%Cr-5%Al steel, etc.

3 ステンレス鋼における真空中送酸脱炭プロセスの必要性

ステンレス鋼の溶製においては、Crの酸化ロスを抑制しつつ脱炭を進行させることが重要な課題のひとつである。そのためにCO分圧(P_{CO})を低下させることが有効であることは一般的に知られている⁹⁾。

このことから従来のK-BOP-RHプロセスでは、K-BOPにおい

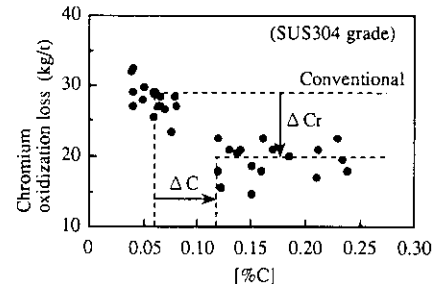


Fig. 2 Effect of tapping carbon content on chromium oxidation loss in K-BOP (SUS 304 grade)

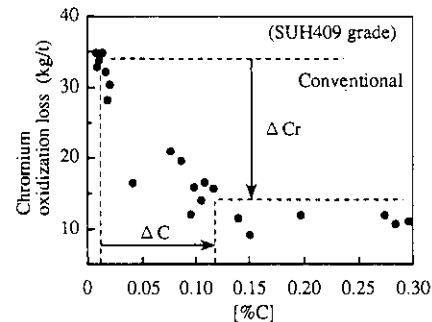


Fig. 3 Effect of tapping carbon content on chromium oxidation loss in K-BOP (SUH 409 grade)

て不活性ガスの底吹き希釈により P_{CO} を低下させ、脱炭精錬を行っていた。しかし、Fig. 2および3に示すように低炭素濃度域で急激にCr酸化ロス量が増大する。これはすなわち大気圧下での希釈脱炭には限界があることを示すものであり、K-BOPではCr酸化ロス量が増大する炭素濃度域に達する前に出銅し、真空中で目標炭素濃度まで脱炭することが可能となれば、Fig. 2および3でのクロム酸化量が低減し、脱炭酸素効率の向上が得られ、より合理的な脱炭精錬が達成される。

一方、当社においては、真空中送酸脱炭機能を有する二次精錬設備としてSS-VOD設備があるが、高能率生産性を維持するという面では、RH脱ガスによる生産性には及ばず、高純度ステンレス鋼のニーズおよび需要増加に応えるという意味からも、RH脱ガスにおける真空中送酸脱炭機能が望まれていた。

4 K-BOP-KTBによるステンレス鋼溶製プロセスの概要

前述のように、精錬プロセスの合理化を図るとともに高能率で安定した高純度ステンレス鋼を溶製することを目的として、千葉製鉄所第1製鋼工場では、脱炭炉における底吹き希釈脱炭と、RH脱ガスにおけるトップランス酸素上吹き法(KTB法)による真空中送酸脱炭を組み合わせた、K-BOP-KTBプロセスを開発した。

Fig. 4にNo.1 RHにおけるKTB設備の模式図および仕様を示す。従来のプロセスでは、送酸脱炭はK-BOPにのみ依存していたため、Fig. 5に示すように低炭素濃度域で脱炭酸素効率が著しく低下していたが、KTBによる真空中送酸脱炭を組み合わせたK-BOP-KTBプロセスを開発し、脱炭精錬機能を分離したことにより、トータルの脱炭酸素効率は向上し合理的なステンレス鋼の脱炭が可能となった。

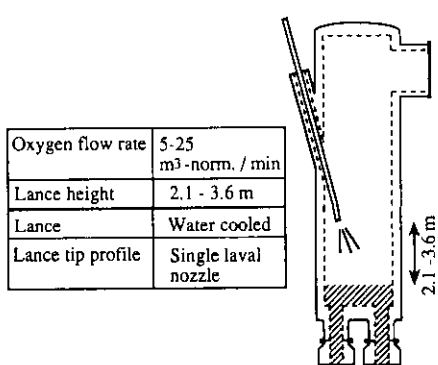


Fig. 4 Schematic illustration of KTB

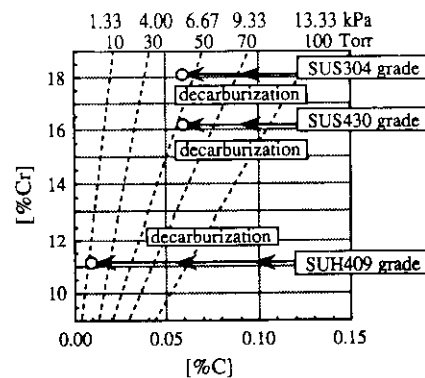


Fig. 6 Relation between [%C] and [%Cr] in equilibrium

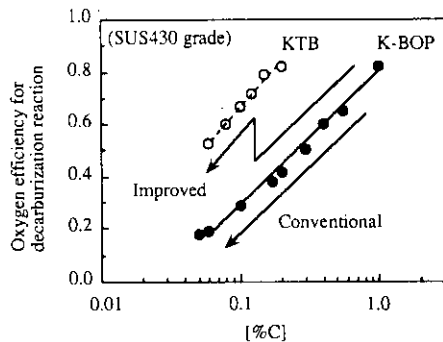
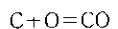


Fig. 5 Relation between carbon content in molten steel and oxygen efficiency for decarburization reaction (SUS 430 grade)

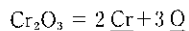
5 KTBによる真空中送酸脱炭挙動

5.1 真空中送酸脱炭下でのCr酸化の推定

KTBによる真空中送酸脱炭処理パターンを決定するにあたり、真空下における脱炭反応およびCrの酸化反応について検討を行った。鋼浴 [O] による脱炭反応は(1)式で、Crの酸化反応は(2)式で表される³⁾。(1)、(2)式より、RHにおける操業温度を1620°C (1893 K)と仮定すれば、ある真空条件において鋼浴 [C] と平衡する鋼浴 [Cr] は(3)式のように表すことができる。



$$\log(P_{\text{CO}}/a_{\text{CO}} \cdot a_0) = 1160/T + 2.03 \quad (1)$$



$$\log a_{\text{Cr}}^2 \cdot a_0^3 = -44040/T + 19.42 \quad (2)$$

$$[T = 1893 \text{ K}]$$

$$2 \log a_{\text{Cr}} - 3 \log a_0 = 3.994 - 3 \log P_{\text{CO}} \quad (3)$$

この(3)式より計算した、槽内真空度が10~100 Torr (1.33~13.33 kPa)における、平衡[C]と[Cr]の関係をFig. 6に示す。図中には同時に、11%Cr極低炭素鋼(SUH 409)、SUS 304およびSUS 430を真空中で送酸脱炭する時の挙動を推定して示すが、SUS 304およびSUS 430では50 Torr (6.67 kPa)以下の脱炭を行えば、Crを酸化することなく脱炭が可能であり、SUH 409においては30 Torr (4.00 kPa)での脱炭でも鋼浴 [C] が0.02%まではCrが酸化されずに脱炭が可能であると推定できる。これらの推定結果より、それぞれの鋼種における真空中送酸脱炭処理パターンを決定した。

5.2 11%Cr極低炭素鋼の溶製

KTB法により11%Cr極低炭素鋼を溶製した。Fig. 7にRH処理中の成分挙動を示す。送酸脱炭処理は、鋼浴 [C] = 0.05%までは真空度を30 Torr (4.00 kPa)とし、その後10 Torr (1.33 kPa)以下で行った。KTBによる送酸に伴い、鋼中 [O] 濃度が上昇し脱炭が進行する。一方で鋼浴 [Cr] は、[C] が0.02%まではほとんど酸化せず、0.01%近傍で若干酸化された。計算上では、真空度10 Torr (1.33 kPa)前後では[C] = 0.01%以下までCrの酸化は生じないことになるが、実際は[C]の移動律速の領域であるため真空槽内への溶鋼の供給に対し、酸素供給が過剰となり、Crが酸化したものと考えられる。鋼中 [O] は、送酸脱炭後の真空脱炭および合金鉄による脱酸処理により低下し、鋼中 [N] は脱炭中のCO気泡により脱窒が進行して、いずれも十分に低下している。

次に、酸素バランスについて検討した。Fig. 8にKTB送酸時の概念図を示す。上吹きランプから送酸しているため、鋼浴に到達して脱炭に使用される酸素の他に、鋼浴から発生するCOガスとの2次燃焼に使用される酸素および未反応のまま排気される酸素が存在するものと考えられる。Fig. 9にKTBとK-BOPの鋼浴 [C]

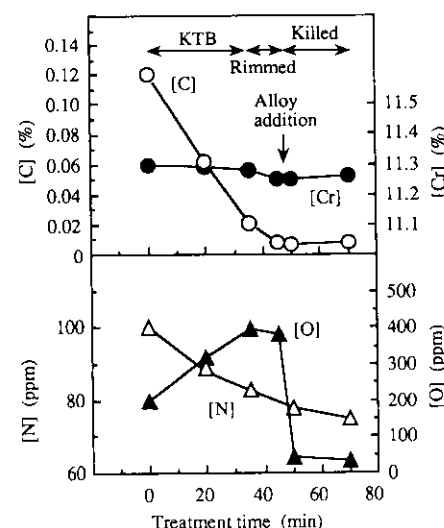


Fig. 7 Change in chemical composition during RH treatment (SUH 409 grade)

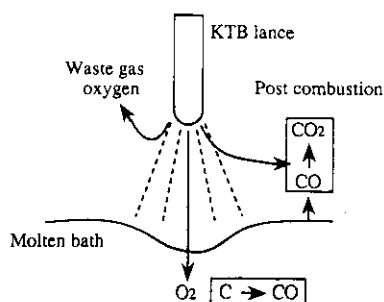


Fig. 8 Schematic illustration of the decarburization mechanism of the KTB method

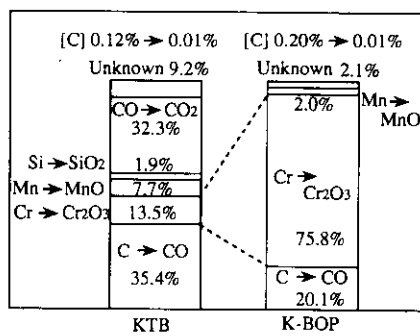


Fig. 9 Comparison of oxygen balance between KTB and K-BOP (SUH 409 grade)

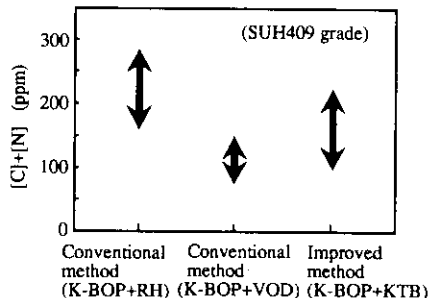


Fig. 10 Comparison of final $[C] + [N]$ level between experimental and conventional method (SUH 409 grade)

$\sim 0.01\%$ の領域での酸素バランスを比較して示す。KTBでは脱炭に使用される酸素は35%，Cr, Mn, Siの酸化にそれぞれ13.5%，7.7%，1.9%が使用される。また、供給酸素のうち32%は2次燃焼に使用され、未反応酸素は9.2%程度である。一方、K-BOPでは底吹き送酸を行っているので、銅浴到達酸素は100%であるが、そのうち脱炭に使用される酸素は約20%で、Crの酸化に76%も使用される。したがって、KTBではK-BOPと比較してCrの酸化が少なく効率の良い脱炭が可能となることが分かる。

以上述べたように、極低炭素鋼においてKTB法を適用することにより、RIIにおいて高効率の脱炭精錬が可能となり、その脱炭反応により生ずるCO気泡によって脱空反応が進行し、Fig. 10に示すように、K-BOP-VODプロセスに匹敵する製品C+Nレベルを達成することが可能となった。

5.3 脱窒脱炭技術の確立

SUS 304等の精錬目標の[N]範囲が比較的高い鋼種では、脱炭炉においてArを使用しない N_2 希釈脱炭を実施している。そのため、RH処理開始時の銅中[N]はAr希釈脱炭時の500~800 ppmに対し、1500~2000 ppmに達している。Fig. 11には、脱炭炉での希釈ガスとしてArを用いた場合と N_2 を用いた場合のRHにおける銅中[N]推移を比較して示す。RH処理開始時の銅中[N]が高い場合には、RII脱ガス処理初期のKTB送酸脱炭中に進行する脱炭反応とともに、急激な脱空反応が進行し、その結果槽内の溶鋼がフォーミングする現象が観察される。この時のKTBによる脱炭酸素効率を、RH処理開始時の銅中[N]が低い場合と比較してFig. 12に示すが、処理開始時の銅中[N]が高い場合は、

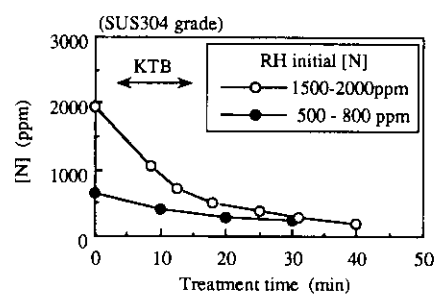


Fig. 11 Change in nitrogen content during RH treatment (SUS 304 grade)

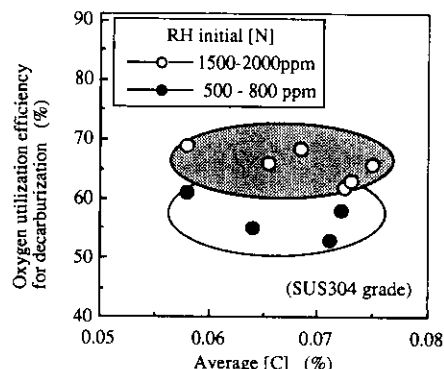


Fig. 12 Comparison of oxygen utilization efficiency for decarburization during RH treatment (SUS 304 grade)

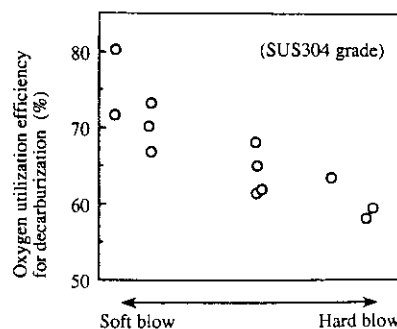


Fig. 13 Effect of blowing condition on oxygen utilization efficiency for decarburization (SUS 304 grade)

低い場合に対し脱炭酸素効率で約10%程度向上していることがわかった。

さらに、溶鋼がこのように激しくフォーミングしている条件下での脱炭挙動を調査するため、KTB ランス高さおよび送酸速度を変更して操業を行った。その結果を Fig. 13 に示すが、脱炭酸素効率は、KTB による上吹き送酸条件をソフトブロー化することにより向上することを見出した。これは、処理初期における脱空および脱炭反応に伴う溶鋼のフォーミングによって、槽内におけるバルクの

CO 発生領域が増大し、上吹き送酸条件をソフトブロー化することにより、メタル成分の酸化および未反応酸素の損失が防がれ、脱炭酸素効率が向上したものと考えられる。この現象の概念図を Fig. 14 に示す。

のことから脱炭炉で N₂ 希釈脱炭を行う鋼種については、脱炭速度の低下しない操業条件範囲において送酸速度を低下し、またランス高さを上昇してソフトブロー指向の送酸脱炭を実施している。その結果、SUS 304 の出鋼 [C] は Fig. 15 に示すように上昇させることができ、K-BOP における還元用 FeSi 合金鉄の使用量も Fig. 16 に示すごとく、従来と比較して約30%低減することが可能となった。

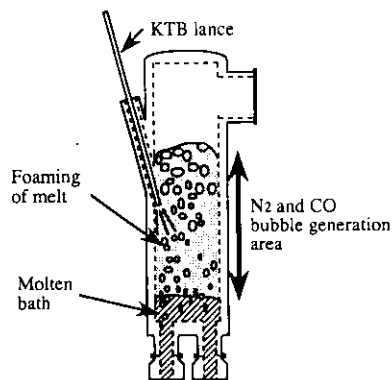


Fig. 14 Schematic illustration of decarburization mechanism when molten metal is foamed by N₂ and CO bubble generation

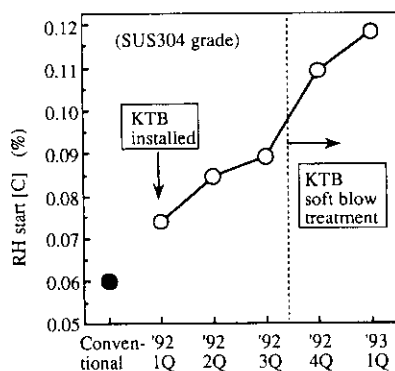


Fig. 15 Trend of [C] content at the start of RH treatment (SUS 304 grade)

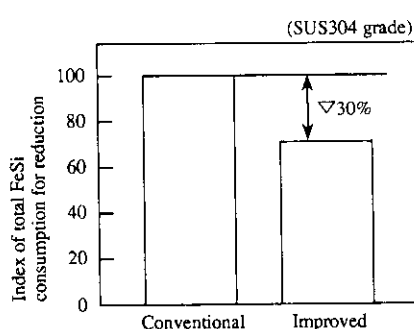


Fig. 16 Comparison of total FeSi consumption for reduction between conventional and improved process (SUS 304 grade)

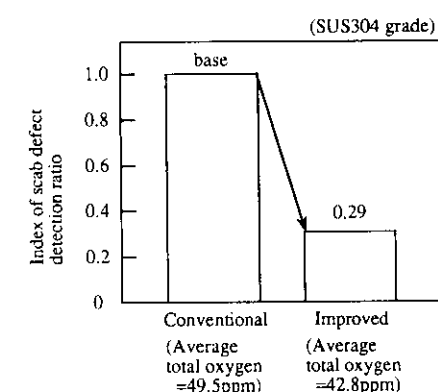


Fig. 17 Comparison of the scab defect detection ratio of coil between conventional and improved process (SUS 304 grade)

8 結 言

ステンレス鋼脱炭精錬の合理化を図ることを目的として、RH脱ガスにおいてトップランス酸素上吹き法（KTB法）を導入し、脱炭炉における底吹き希釈脱炭と組み合わせたK-BOP-KTBプロセスを確立した。その過程において得られた結果は以下のとおりである。

(1) 従来のK-BOP-RHプロセスに対し、K-BOP-KTBプロセスは、脱炭精錬機能をK-BOPとRHに分離したことにより、低炭素濃度域での脱炭酸素効率を向上することができ、ステンレス鋼脱炭精錬の合理化を図ることが可能となった。

(2) 極低炭素鋼の溶製においては、K-BOP-VODプロセスに匹

敵する製品C+N値を達成した。

- (3) SUS 304等の精錬目標の[N]範囲が比較的高い鋼種においては、脱炭炉でのN₂希釈により、RH処理開始時の鋼中[N]がほぼP_{N2}=1気圧下での飽和濃度に近くなり、RH処理初期には脱炭の進行とともに急激な脱空反応により、槽内の溶鋼がフォーミングする現象が観察される。
- (4) このような条件下では、KTB送酸条件をソフトプロー化することにより脱炭酸素効率が向上する。
- (5) KTB設備導入後、槽内地金溶解操業を工程化することにより槽内付着地金によるトラブルが皆無となった。
- (6) KTB操業条件の最適化、槽内地金溶解操業を工程化により、鋼中全酸素が低下し、品質も飛躍的に向上した。

参 考 文 献

- 1) たとえば、竹内英麿： 第118、119回西山記念技術講座、(1987)、1
- 2) 大谷尚史、柴田 勝、朝穂隆一、浜田俊二、矢治源平、加藤嘉英：川崎製鉄技報、15 (1983) 2, 21
- 3) 田岡啓三、野村 寛、駒村宏一、江本寛治、斎上文夫、藤井徹也：川崎製鉄技報、17 (1985) 3, 202
- 4) 田岡啓三、多田 啓、山田純夫、野村 寛、大西正之、馬田 一：鉄と鋼、76 (1990) 11, 1863
- 5) 田岡啓三、近藤英一、野村 寛、山田純夫：材料とプロセス、2 (1989) 1, 289
- 6) 近藤英一、田岡啓三、野村 寛、山田純夫：材料とプロセス、2 (1989) 1, 290
- 7) 錦織正規、西川 康、反町健一：川崎製鉄技報、25 (1993) 2, 79
- 8) 学振第19委員会：製鋼反応の推奨値、49および83